

РЕЗОНАНСНОЕ КОМПТОНОВСКОЕ РАССЕЯНИЕ ВО ВНЕШНЕМ МАГНИТНОМ ПОЛЕ

П. И. Фомин*, Р. И. Холодов

*Институт теоретической физики им. Н. Н. Боголюбова Национальной академии наук Украины
252028, Киев, Украина*

*Институт прикладной физики Национальной академии наук Украины
244030, Сумы, Украина*

Поступила в редакцию 1 сентября 1999 г.

Исследуется процесс рассеяния фотона на электроне во внешнем магнитном поле в резонансных условиях, когда энергия фотона близка к расстояниям между уровнями Ландау. Получены формулы для сечения процесса с учетом поляризации электрона. Для внешних полей $\sim 10^{12}$ Гс резонансное комптоновское сечение на несколько порядков превышает томсоновское, при этом ширина резонанса составляет десятки электронвольт.

PACS: 13.60.Fz; 32.80.Cy

1. ВВЕДЕНИЕ

Исследованию квантовоэлектродинамических процессов с фотонами, электронами и позитронами во внешнем магнитном поле посвящена значительная литература, однако эта тема продолжает оставаться актуальной как в экспериментальном, так и в теоретическом плане. Процессы первого порядка в магнитном поле (магнитотормозное излучение, рождение электрон-позитронной пары фотоном и др.) подробно исследовались в последние десятилетия (см., например, [1–5]). Комптоновскому рассеянию фотона на электроне уделялось меньшее внимание [6, 7], поскольку в общем случае вероятность такого процесса относительно мала, так как содержит дополнительную степень постоянной тонкой структуры.

Мы хотим показать здесь, что в комптоновском рассеянии в магнитном поле возможно резонансное увеличение вероятности, когда энергия входящих частиц близка к одному из уровней Ландау промежуточной частицы, что делает такие процессы при достаточно больших значениях магнитных полей физически интересными и практически наблюдаемыми. Поля такой величины имеют место, например, в сильно замагниченных нейтронных звездах.

Отметим также, что аналогичное резонансное

увеличение сечения может происходить и для рождения пар эквивалентными фотонами [8] при столкновении двух быстрых ядер с большими Z (тяжелые ионы), причем роль внешнего магнитного поля при этом может играть создаваемое этими же ядрами сильное магнитное поле в области между ядрами в момент их наибольшего сближения. В этой области кулоновские поля ядер взаимно ослабляются, а магнитные поля складываются. Такой процесс может иметь отношение к наблюдаемым аномалиям в выходе резонансных пар при столкновениях тяжелых ионов [9, 10].

В отличие от [7], в настоящей работе проводится общее релятивистское рассмотрение процесса, где используются релятивистские волновая функция и функция Грина электрона.

В разд. 2 получено выражение для амплитуды комптоновского рассеяния с использованием функции Грина электрона в магнитном поле в форме, удобной для исследования резонансных эффектов. В разд. 3 приведен анализ условий возникновения резонансов. Общие формулы упрощаются в приближении малых по сравнению с mc^2/\hbar частот начального и конечного фотонов. В разд. 4 вычисляются ширины резонансов. В последнем разделе вычисляется сечение резонансного эффекта Комптона при различных поляризациях конечного электрона.

*E-mail: pfomin@bitp.kiev.ua

2. АМПЛИТУДА ПРОЦЕССА

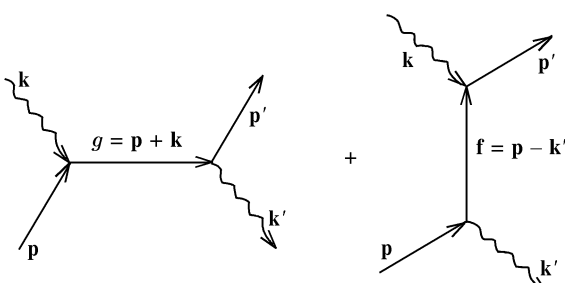
Рассматриваемый процесс рассеяния фотона электроном в магнитном поле описывается следующими диаграммами Фейнмана, показанными на рисунке. Волнистым линиям на рисунке соответствуют невзаимодействующие с внешним полем фотоны с 4-импульсами $\mathbf{k} = (\omega, \mathbf{k})$ и $\mathbf{k}' = (\omega', \mathbf{k}')$. Внешним сплошным линиям соответствуют точные решения уравнения Дирака для электрона в однородном магнитном поле с 4-импульсами $\mathbf{p} = (\varepsilon_l, 0, p_y, p_z)$ и $\mathbf{p}' = (\varepsilon'_l, 0, p'_y, p'_z)$ (с нулевой компонентой вдоль оси x), а промежуточные сплошные линии обозначают электронную функцию Грина во внешнем однородном магнитном поле.

Волновую функцию Ψ электрона во внешнем однородном постоянном магнитном поле удобно взять в виде [11]

$$\begin{aligned}\Psi(\mathbf{x}) &= \frac{\exp(-i\mathbf{p} \cdot \mathbf{r})}{\sqrt{S}} \Psi(\zeta), \\ \Psi(\zeta) &= A_l \left[i\sqrt{2leH} U_l(\zeta) + (m + \mu\tilde{m}) U_{l-1}(\zeta) \gamma_1 \right] u_l,\end{aligned}\quad (1)$$

где $r = (t, 0, y, z)$, $\mathbf{p} \cdot \mathbf{r} = \varepsilon_l t - p_y y - p_z z$, ε_l — энергия электрона в данном магнитном поле, S — нормировочная площадь в плоскости (yz) , $\zeta = \sqrt{eH}(x + p_y/eH)$, $U_l(\zeta)$ — функция Эрмита l -го порядка, μ — поляризация электрона, которая принимает значения $+1$ и -1 , γ_1 — матрица Дирака в стандартном представлении, $\tilde{m}^2 = m^2 + 2leH$, биспинор u_l имеет вид

$$u_l = \begin{pmatrix} 0 \\ \mu\tilde{m} - \varepsilon_l \\ 0 \\ p_z \end{pmatrix}, \quad (2)$$



Диаграммы Фейнмана процесса рассеяния фотона электроном в магнитном поле

A_l — нормировочный множитель:

$$A_l = \begin{cases} \sqrt{\frac{\sqrt{eH}(\varepsilon_l + \mu\tilde{m})}{p_z^2 2\tilde{m} 2\varepsilon_l(\tilde{m} + \mu m)}}, & l > 0, \\ \frac{1}{\sqrt{\sqrt{eH}2\varepsilon_0(\varepsilon_0 + m)}}, & l = 0, \quad \mu = -1. \end{cases} \quad (3)$$

Постоянное магнитное поле H направлено вдоль оси z . Волновой функции (1) соответствует калибровка внешнего поля, при которой 4-векторный потенциал задан следующим образом

$$A_0 = A_x = A_z = 0, \quad A_y = Hx. \quad (4)$$

Энергетический спектр ε_l равен

$$\varepsilon_l = \sqrt{m^2 + p_z^2 + 2leH} = \sqrt{\tilde{m}^2 + p_z^2}. \quad (5)$$

Волновая функция (1) является собственной функцией для операторов обобщенного импульса P и оператора, отвечающего за поляризацию электрона R :

$$P_{ik} \Psi_k^+ = \gamma_{ik}^\mu (p_\mu - eA_\mu) \Psi_k^+ = m \Psi_i^+, \quad (6)$$

$$R_{ik} \Psi_k^+ = \mu \Psi_i^+. \quad (7)$$

Выпишем явный вид этих операторов:

$$P = \gamma \tilde{\mathbf{p}} + i\sqrt{eH} \gamma_1 \partial/\partial \zeta - \sqrt{eH} \gamma_2 \zeta, \quad (8)$$

$$R = P F_{\mu\nu} \sigma^{\mu\nu} + F_{\mu\nu} \sigma^{\mu\nu} P = \gamma_5 \gamma^\mu S_\mu, \quad (9)$$

где

$$\tilde{\mathbf{p}} = (\varepsilon_l, 0, 0, p_z), \quad F_{\mu\nu} = \partial_\mu A_\nu - \partial_\nu A_\mu,$$

$$\sigma^{\mu\nu} = (\gamma^\mu \gamma^\nu - \gamma^\nu \gamma^\mu)/2, \quad S_\mu = (-p_z, 0, 0, -\varepsilon_l)/\tilde{m}.$$

Следует отметить, что в выражении для обобщенного оператора (8) есть только один дифференциальный оператор по переменной x ($\zeta = \zeta(x)$). Операторы $\hat{p}_0, \hat{p}_y, \hat{p}_z$ заменены собственными значениями ε_l, p_y, p_z , поскольку зависимость волновой функции (1) от переменных t, y, z имеет вид плоской волны.

Для причинной функции Грина оператора (8) используем следующее выражение:

$$\begin{aligned}G_H(\mathbf{x}_1, \mathbf{x}_2) &= \frac{-1}{(2\pi)^3} \times \\ &\times \int d^3g \exp(-ig \cdot (\mathbf{r}_1 - \mathbf{r}_2)) G_H(g; \rho_1, \rho_2),\end{aligned}\quad (10)$$

$$G_H(\mathbf{g}; \rho_1, \rho_2) = \sqrt{eH} \sum_{n=0}^{\infty} \frac{1}{g_0^2 - \varepsilon_n^2 - i \cdot 0} \times \\ \times [U_n(\rho_1)U_n(\rho_2)(\gamma\tilde{\mathbf{g}} + m)\alpha + (1 - \delta_{0n})U_{n-1}(\rho_1) \times \\ \times U_{n-1}(\rho_2)(\gamma\tilde{\mathbf{g}} + m)\beta + \\ + (1 - \delta_{0n})i\sqrt{2neH}(U_{n-1}(\rho_1)U_n(\rho_2) \times \\ \times \gamma_1\alpha - U_n(\rho_1)U_{n-1}(\rho_2)\alpha\gamma_1)],$$

где $d^3\mathbf{g} = dg_0dg_ydg_z$, $\gamma\tilde{\mathbf{g}} = \gamma_0g_0 - \gamma_3g_z$ и $\rho_{1,2} = \sqrt{eH}(x_{1,2} + g_y/eH)$ для первой диаграммы. Во второй диаграмме $\mathbf{g} \rightarrow \mathbf{f}$, поэтому $\rho_{1,2} \rightarrow \eta_{1,2} = \sqrt{eH}(x_{1,2} + f_y/eH)$. Матрицы α и β имеют вид

$$\alpha = (1 + i\gamma_2\gamma_1)/2 \quad \beta = (1 - i\gamma_2\gamma_1)/2. \quad (11)$$

Составим амплитуду процесса на основании диаграмм, представленных на рисунке. Подставляя в нее выражения (1), (10) и используя в качестве квантованных фотонных полей $A(x_{1,2})$ известные выражения полей невзаимодействующих фотонов, получим

$$S_{if} = ie^2 \int d\mathbf{x}_1 d\mathbf{x}_2 \bar{\Psi}(\mathbf{x}_1)[A(\mathbf{x}_1)G_H(\mathbf{x}_1, \mathbf{x}_2)A'(\mathbf{x}_2) + \\ + A'(\mathbf{x}_1)G_H(\mathbf{x}_1, \mathbf{x}_2)A(\mathbf{x}_2)]\Psi(\mathbf{x}_2), \quad (12)$$

где $\bar{\Psi}(\mathbf{x}_1)$ — дираковское сопряжение выражения (1), в котором $\zeta \rightarrow \xi = \sqrt{eH}(x + p_y'/eH)$. После интегрирования по $dt_{1,2}$, $dy_{1,2}$, $dz_{1,2}$, $d^3\mathbf{g}$, $d^3\mathbf{f}$ получим

$$S_{if} = \frac{-ie^2(2\pi)^4 e_\mu e'_\nu^*}{VS\sqrt{\omega\omega'}} \delta^3(\mathbf{p} + \mathbf{k} - \mathbf{p}' - \mathbf{k}') \times \\ \times \int dx_1 dx_2 \bar{\Psi}(\xi_1) Q^{\mu\nu} \Psi(\zeta_2), \quad (13)$$

$$Q^{\mu\nu} = \exp(ik_x x_2 - ik'_x x_1)\gamma^\nu G_H(g; \rho_1, \rho_2)\gamma^\mu + \\ + \exp(ik_x x_1 - ik'_x x_2)\gamma^\mu G_H(f; \eta_1, \eta_2)\gamma^\nu,$$

где e_μ , e'_ν — векторы поляризации начального и конечного фотонов, V — рассматриваемый объем. Дельта-функция соответствует законам сохранения энергии и проекций импульса на направления осей y , z . При этом на 4-импульсы промежуточных частиц накладываются следующие ограничения (за исключением их x -компонент):

$$\mathbf{g} = \mathbf{p} + \mathbf{k} = \mathbf{p}' + \mathbf{k}', \quad (14)$$

$$\mathbf{f} = \mathbf{p}' - \mathbf{k} = \mathbf{p} - \mathbf{k}'. \quad (15)$$

3. УСЛОВИЯ РЕЗОНАНСНОГО РАССЕЯНИЯ

Из законов сохранения (14) с учетом законов дисперсии для начальных и конечных частиц

$$\omega^2 = \vec{k}^2, \quad \omega'^2 = \vec{k}'^2, \quad \varepsilon_l = \sqrt{\tilde{m}^2 + p_z^2}, \\ \varepsilon_{l'} = \sqrt{\tilde{m}'^2 + p_z'^2}, \quad (16)$$

где

$$\tilde{m} = \sqrt{m^2 + 2leH}, \quad \tilde{m}' = \sqrt{m'^2 + 2l'eH},$$

несложно получить частоту конечного фотона, выраженную через номера уровней Ландау l и l' , частоту начального фотона и направление падающего и излученного фотонов:

$$\omega' = \frac{1}{1-u^2} \left[\varepsilon_l + \omega(1-vu) - \right. \\ \left. - ((\varepsilon_l + \omega(1-vu))^2 - \right. \\ \left. - (\omega^2 + 2\varepsilon_l\omega + 2(l-l')hm^2)(1-u^2))^{1/2} \right], \quad (17)$$

где $v = \cos\theta$, $u = \cos\theta'$ — косинусы углов между направлением вдоль магнитного поля и направлениями движения соответственно начального и конечного фотонов, $h = H/H_0$ ($H_0 = m^2/e \sim 4.4 \cdot 10^{13}$ Гс). При этом для простоты z -компонента импульса начального электрона полагается равной нулю, $p_z = 0$.

В случае малых по сравнению с H_0 полей для небольших значений номеров уровней Ландау l и l' , а также при малых частотах,

$$(l + l')h \ll 1 \text{ и } \omega \ll m, \quad (18)$$

выражение (17) упрощается:

$$\omega' = \omega + (l - l')hm. \quad (19)$$

Условия резонансного протекания процесса требуют обращения в нуль полюсов функции Грина (10). При этом в выражении для функции Грина (10) остается только одно слагаемое в сумме. Это соответствует тому, что промежуточный электрон находится на определенном уровне Ландау. Для первой диаграммы на рисунке условие резонанса имеет вид

$$g_0^2 - \varepsilon_{n1}^2 = g_0^2 - (m^2 + 2n_1hm^2 + g_z^2) = 0. \quad (20)$$

Условие (20) накладывает ограничения на частоту начального фотона, и с учетом (14) получаем

$$\omega = \left(\sqrt{\varepsilon_l^2 - 2(n_1 - l)hm^2(1 - v^2)} - \varepsilon_l \right) / (1 - v^2). \quad (21)$$

В приближении (18)

$$\omega = (n_1 - l)hm, \text{ при этом } \omega' = (n_1 - l')hm. \quad (22)$$

Смысл выражения (22) прозрачен: энергия начального фотона равна расстоянию между уровнями промежуточного и начального электронов, а энергия конечного фотона равна расстоянию между уровнями промежуточного и конечного электронов. При этом в данном приближении резонансные значения ω и ω' не зависят от углов падения и излучения фотонов.

Из (22) видно, что ω' пропорциональна ω , причем коэффициент пропорциональности $(n_1 - l')/(n_1 - l) > 1$, если номер уровня Ландау начального электрона l больше номера уровня Ландау конечного электрона l' и $\omega' < \omega$ в обратном случае, когда $l' > l$. Так, при $l = 1$, $n_1 = 2$ и $l' = 0$ будет наблюдаться удвоение частоты фотона в результате его резонансного рассеяния на электроне. Случай $l' = l$ соответствует упругому рассеянию.

Условие резонанса имеет место также для второй диаграммы на рисунке:

$$f_0^2 - \varepsilon_{n2}^2 = f_0^2 - (m^2 + 2n_2 hm^2 + f_z^2) = 0. \quad (23)$$

Оно может быть реализовано в двух различных случаях:

$$\varepsilon_{n2} = \begin{cases} \varepsilon - \omega = \omega' - \varepsilon', & \varepsilon > \omega \quad \text{и} \quad \omega' > \varepsilon', \\ \omega - \varepsilon = \varepsilon' - \omega' & \varepsilon < \omega \quad \text{и} \quad \omega' < \varepsilon'. \end{cases} \quad (24)$$

Первое равенство в (24) соответствует процессу, когда начальный электрон, излучая конечный фотон, переходит в промежуточный, который, поглощая начальный фотон, переходит в конечный электрон. В этом случае условие (24) накладывает следующее ограничение на частоту конечного фотона:

$$\omega' = \left(\varepsilon_l - \sqrt{\varepsilon_l^2 - 2(l-n_2)hm^2(1-u^2)} \right) / (1-u^2), \quad (25)$$

а в приближении (18)

$$\omega' = (l - n_2)hm, \text{ при этом } \omega = (l' - n_2)hm. \quad (26)$$

Следует отметить, что в резонансе как для первой, так и для второй диаграммы в рассматриваемом случае два условия приближения (18) совпадают.

Второе равенство в (24) отвечает возможности резонансного комптоновского рассеяния через рождение e^-e^+ -пары начальным фотоном с последующей аннигиляцией промежуточного позитрона с начальным электроном. Однако в этом случае в приближении (18) сечение экспоненциально мало из-за множителя $\exp(-\omega^2/2hm^2)$, в котором $\omega^2 \geq 4m^2$. В предыдущих случаях этот множитель порядка единицы.

4. ШИРИНЫ РЕЗОНАНСОВ

В дальнейшем для простоты будем рассматривать процессы, в которых начальный электрон находится в основном состоянии ($l = 0$). В этом случае, как видно из (25), резонанс во второй диаграмме не реализуется (за исключением процесса рассеяния фотона на электроне через рождение и аннигиляцию e^-e^+ -пары).

Ширина резонанса определяется вероятностью распада промежуточного состояния, в данном случае вероятностью излучить фотон с частотой ω' промежуточным электроном с 4-импульсом $\mathbf{g} = (\varepsilon_n, 0, g_y, g_z)$, подчиняющимся условию (14). Это хорошо известный процесс магнитотормозного излучения электрона. Однако выражение для вероятности следует удвоить, поскольку в нашем случае под начальной частицей понимается электрон в промежуточном состоянии (см. рисунок), у которого проведено суммирование по поляризации, в отличие от реального электрона, у которого в начальном состоянии проводится усреднение. Для дифференциальной вероятности излучения фотона в единицу времени под углом θ' к направлению магнитного поля при переходе с уровня n на уровень l' имеем

$$\frac{dW_{nl'}}{du} = [-m^2 J^2(l', n) + (\tilde{\mathbf{g}} \cdot \tilde{\mathbf{p}}' - m^2) \times \\ \times (J^2(l', n-1) + J^2(l'-1, n)) - \\ - 4m^2 h \sqrt{l'n} J(l'-1, n-1) J(l', n) - \\ - m^2 J^2(l'-1, n-1)] \frac{\alpha \omega'}{g_0(g_0 - \omega')}, \quad (27)$$

где $\alpha = e^2/\hbar c$, $\tilde{\mathbf{g}} \cdot \tilde{\mathbf{p}}' = g_0 \varepsilon_{l'} - g_z p_z'$, $J(l', n)$ — специальная функция вида

$$J(l', n) = e^{-\eta'/2} \eta^{(n-l')/2} \times \\ \times \sqrt{\frac{n!}{l'!}} \frac{1}{(n-l')!} F(-l', n-l'+1, \eta'), \quad (28)$$

$F(-l', n-l'+1, \eta)$ — вырожденная гипергеометрическая функция, $\eta' = \omega'^2(1-u^2)/2hm^2$. При малом параметре $\eta' \ll 1$, что при небольших номерах уровней Ландау эквивалентно условию (18), выражение (27) можно привести к виду

$$\frac{dW_{nl'}}{du} = \alpha m A h^{n-l'+1} (1+u^2)(1-u^2)^{n-l'-1}, \quad (29)$$

где A — численный коэффициент:

$$A = \frac{(n^2 - l'^2)(n-1)!(n-l')^{2n-2l'}}{2^{n-l'} l'!(n-l')!^2}.$$

После интегрирования по u получаем полную вероятность процесса:

$$W_{nl'} = \alpha m h^{n-l'+1} \times \\ \times \frac{2(n-1)!(n-l')^{2n-2l'}(n+l')(n-l'+1)}{l'!(n-l')!(2n-2l'+1)!!}. \quad (30)$$

Согласно сказанному выше, ширина Γ равна сумме вероятностей (30) по l' от 0 до $n-1$. Но в приближении (18) наиболее весомым будет слагаемое с $l' = n-1$, т. е.

$$\Gamma = W_{n-n-1} = \frac{4}{3}(2n-1)\alpha m h^2. \quad (31)$$

Выражение для $2/\Gamma$ при $n=1$ совпадает с временем высвечивания электрона в магнитном поле [12]. Для магнитных полей $H \sim 0.1 H_0$ ширина $\Gamma \sim 50$ эВ.

В полюс функции Грина (10) ширина вводится стандартным способом, а именно, путем добавления к энергии промежуточной частицы ε_n отрицательной мнимой добавки:

$$\varepsilon_n \rightarrow \varepsilon_n - i\Gamma/2. \quad (32)$$

5. СЕЧЕНИЕ РЕЗОНАНСНОГО ЭФФЕКТА КОМПТОНА

Дифференциальная вероятность процесса определяется как произведение квадрата модуля амплитуды (13) на число конечных состояний dN , которое равно

$$dN = \frac{SVd^2\mathbf{p}'d^3\mathbf{k}'}{(2\pi)^5}. \quad (33)$$

После усреднения по поляризациям начального фотона и суммирования по поляризациям конечного, а также интегрирования по dp'_z , dp'_y дифференциальную вероятность можно привести к виду

$$dW_{0nl'} = \frac{e^4 \delta(m+w-\varepsilon'-w')}{\omega_1 \omega_2} \frac{T d^3 k'}{V} \times \\ \times \int dx_1 dx'_1 dx_2 dx'_2 \times \\ \times \text{Sp}\{\rho(\xi_1, \xi'_1) Q^{\mu\nu} \rho(\zeta_2, \zeta'_2) Q'_{\mu\nu}{}^+\}, \quad (34)$$

где $Q^{\mu\nu}$ — только первое слагаемое в (13), $Q'_{\mu\nu}$ зависит от штрихованных координат $x'_{1,2}$, $\rho(\zeta_2, \zeta'_2)$ и $\rho(\xi'_1, \xi_1)$ — поляризационные матрицы плотности начального и конечного электронов, которые определяются как

$$\begin{aligned} \rho(\zeta_2, \zeta'_2) &= \Psi(\zeta_2) \overline{\Psi}(\zeta'_2), \\ \rho(\xi'_1, \xi_1) &= \Psi(\xi'_1) \overline{\Psi}(\xi_1). \end{aligned} \quad (35)$$

Подставляя (1), (10) и (35) в выражение для дифференциальной вероятности (34) и деля последнее на плотность потока начальных фотонов $j = c/V$ и на время T , а также интегрируя по dw' , можно получить общее выражение для дифференциального сечения рассматриваемого процесса, явный вид которого вынесен в Приложение. Это выражение зависит уже от произведения двух специальных функций (28) $J_1(l', n)$ и $J_2(0, n)$, причем первая зависит от параметра $\eta' = \omega'^2(1-u^2)/2hm^2$, а вторая — от параметра $\eta = \omega^2(1-v^2)/2hm^2$. В приближении малых значений параметров $\eta \sim \eta' \ll 1$ дифференциальное сечение эффекта Комптона вблизи резонанса с поляризацией конечного электрона против поля ($\mu' = -1$) можно привести к виду

$$\frac{d\sigma_{0nl'}^-}{du} = \pi r_0^2 B^- m^2 h^{2n-l'} \times \\ \times \frac{(1+v^2)(1-v^2)^{n-1}(1+u^2)(1-u^2)^{n-l'-1}}{(\omega - \omega_r)^2 + \Gamma^2/4}, \quad (36)$$

где, как и раньше, $v = \cos \theta$, $u = \cos \theta'$, $h = eH/m^2$, r_0 — классический радиус электрона, ω_r — частота начального фотона в резонансе (22), B^- — следующий численный коэффициент:

$$B^- = \frac{n^{2n-1}(n-l')^{2n-2l'+1}}{2^{2n-l'} l'! (n-l')!^2}. \quad (37)$$

Стоит отметить, что зависимость (36) дифференциального сечения от косинуса угла конечного фотона u совпадает с зависимостью дифференциальной вероятности магнитотормозного излучения от u . Это говорит о том, что в резонансе процесс рассеяния фотона на электроне в магнитном поле разбивается на два независимых: поглощение фотона электроном и магнитотормозное излучение.

После интегрирования по u выражения (36) с учетом (31) получим полное сечение эффекта Комптона в резонансе

$$\sigma_{0nl'}^- = 9\pi r_0^2 \times \\ \times \frac{(n-l')^{2n-2l'} n^{2n-1} (n-l'+1) (1+v^2) (1-v^2)^{n-1}}{\alpha^2 h^{4+l'-2n} 2^{n+1} (2n-1)^2 l'! (n-l')! (2n-2l'+1)!!}. \quad (38)$$

Для случая $n=1$, $l'=0$ после усреднения по v сечение имеет вид

$$\sigma_{010}^- = \frac{3}{2}\pi r_0^2 \left(\frac{1}{\alpha h}\right)^2 = \sigma_T \frac{3}{4} \left(\frac{m^2 c^4}{e^3 H}\right)^2, \quad (39)$$

где $\sigma_T = 8\pi r_0^2/3$ — сечение Томсона. В данном случае $\omega = \omega'$, $\varepsilon = \varepsilon'$, что соответствует упругому рассеянию. Отметим, что выражение (39) можно записать в виде $\sigma_{010}^- = 2\pi\lambda^2$, где λ — длина волны начального фотона. С уменьшением величины магнитного поля λ растет, что соответствует увеличению

сечения. Но при этом уменьшается ширина резонанса. Для магнитных полей $H \sim 0.1H_0$ резонансное сечение комптоновского рассеяния на шесть порядков превышает томсоновское.

Аналогично (36) можно получить выражение для дифференциального сечения комптоновского рассеяния с поляризацией конечного электрона по полю ($\mu' = +1$):

$$\frac{d\sigma_{0nl'}^+}{du} = \pi r_0^2 B^+ m^2 h^{2n-l'+1} \times \frac{(1+v^2)(1-v^2)^{n-1}(1+u^2)(1-u^2)^{n-l'-1}}{(\omega - \omega_r)^2 + \Gamma^2/4}, \quad (40)$$

где

$$B^+ = \frac{n^{2n-1}(n-l')^{2n-2l'+1}}{2^{2n-l'+1}(l'-1)!(n-l')!^2}. \quad (41)$$

Для сравнения сечений (40) и (36) разделим одно на другое:

$$\frac{d\sigma_{0nl'}^+/du}{d\sigma_{0nl'}^-/du} = \frac{l'h}{2}. \quad (42)$$

Поскольку соотношение (42) не зависит от переменной u , оно будет справедливо и для полных сечений

$$\sigma_{0nl'}^+ = l'h\sigma_{0nl'}^-/2. \quad (43)$$

Наконец заметим, что поскольку для электрона в основном состоянии ($l = 0, \mu = -1$) сечение (38) (рассеяние без переориентации спина электрона) в $2H_0/l'H \gg 1$ раз больше сечения (43) (рассеяние с переориентацией спина электрона), выражение (38) фактически описывает также резонансное сечение эффекта Комптона, просуммированное по поляризациям конечного электрона. Кроме того, подчеркнем, что выражения (36)–(40) получены в системе отсчета, в которой у начального электрона отсутствует компонента импульса вдоль направления магнитного поля $p_z = 0$.

Авторы признательны С. П. Рошупкину за полезные дискуссии.

ПРИЛОЖЕНИЕ

Ниже приводится выражение для дифференциального сечения резонансного комптоновского рассеяния в общем случае с произвольной поляризацией конечного электрона μ' без ограничений, накладываемых условиями (19). Это выражение может

быть полезно при анализе ситуаций в сверхкритических полях ($H > H_0$) либо с ультрапрелятивистскими частицами.

$$\begin{aligned} \frac{d\sigma_{0nl'}}{du} = & \frac{\pi r_0^2 \omega' \sum_{i=1}^9 A_i}{4\omega \tilde{m}' \varepsilon_n^2 (m + \omega(1-vu) - \omega'(1-u^2))((g_0 - \varepsilon_n)^2 + \Gamma^2/4)}, \end{aligned}$$

где

$$\begin{aligned} A_1 = & -J_1^2(l', n) J_2^2(0, n) \frac{2l' hm^2 \mu' \tilde{m}' (\tilde{g}^2 + m^2)}{\tilde{m}' + \mu' m + \Delta'}, \\ A_2 = & (J_1^2(l', n) J_2^2(0, n-1) + J_1^2(l', n-1) J_2^2(0, n)) \times \\ & \times \frac{4l' nh^2 m^4 \mu' \tilde{m}'}{\tilde{m}' + \mu' m + \Delta'}, \\ A_3 = & J_1^2(l' - 1, n) J_2^2(0, n) \lambda_{l'} (\tilde{m}' + \mu' m) \times \\ & \times (\mu' \tilde{m}' (\tilde{g}^2 + m^2) - 2m \tilde{p}' \tilde{g}), \\ A_4 = & J_1^2(l' - 1, n) J_2^2(0, n-1) 2n \lambda_{l'} hm^2 \times \\ & \times (\tilde{m}' + \mu' m) (\varepsilon' - \mu' \tilde{m}'), \\ A_5 = & J_1^2(l', n-1) J_2^2(0, n-1) \frac{2l' hm^2}{\tilde{m}' + \mu' m + \Delta'} \times \\ & \times [2w \tilde{p}' \tilde{g} - \tilde{g}^2 (\varepsilon' + \mu' \tilde{m}') + \\ & + 2mg_0 \mu' \tilde{m}' + m^2 \varepsilon' - m^2 \mu' \tilde{m}'], \\ A_6 = & -J_1^2(l' - 1, n-1) J_2^2(0, n) 2n \lambda_{l'} hm^2 \times \\ & \times (\tilde{m}' + \mu' m) \mu' \tilde{m}', \\ A_7 = & J_1^2(l' - 1, n-1) J_2^2(0, n-1) \times \\ & \times \lambda_{l'} (\tilde{m}' + \mu' m) \mu' \tilde{m}' \omega^2 (1 - v^2), \\ A_8 = & J_1(l', n) J_1(l' - 1, n - 1) J_2^2(0, n) \times \\ & \times 2\sqrt{l'n} \lambda_{l'} hm^3 \tilde{m}', \\ A_9 = & -J_1(l', n) J_1(l' - 1, n - 1) J_2^2(0, n - 1) \times \\ & \times 2\sqrt{l'n} \lambda_{l'} hm^2 \tilde{m}' \omega, \\ \lambda_{l'} = & 1 - \delta_{0l'}, \quad \Delta' = l' hm \delta_{0l'}. \end{aligned}$$

ЛИТЕРАТУРА

1. А. А. Соколов, И. М. Тернов, *Релятивистский электрон*, Наука, Москва (1974).
2. Н. П. Клепиков, ЖЭТФ **26**, 19 (1954).
3. И. М. Тернов, В. Г. Багров, Р. А. Рзаев, ЖЭТФ **46**, 374 (1964).
4. В. Н. Байер, В. М. Катков, В. М. Страховенко, ЖЭТФ **67**, 453 (1974).

5. А. И. Никишов, Труды ФИАН **111**, 152 (1979).
6. В. Ч. Жуковский, И. Херман, ЯФ **14**, 150 (1971).
7. R. W. Bussard, S. B. Alexander, and P. Meszaros, Phys. Rev. D **34**, 440 (1986).
8. П. И. Фомин, Р. И. Холодов, Докл. АН Украины **12**, 91 (1998).
9. J. Koenig, E. Berdermann, F. Bosch et al., Z. Phys. A **346**, 153 (1993).
10. R. Bär, A. Balanda, J. Baumann et al., Nucl. Phys. A **583**, 237 (1995).
11. А. И. Ахиезер, В. Б. Берестецкий, *Квантовая электродинамика*, Наука, Москва (1981).
12. В. Г. Багров, Д. М. Гитман, В. Н. Родионов и др., ЖЭТФ **71**, 433 (1976).